

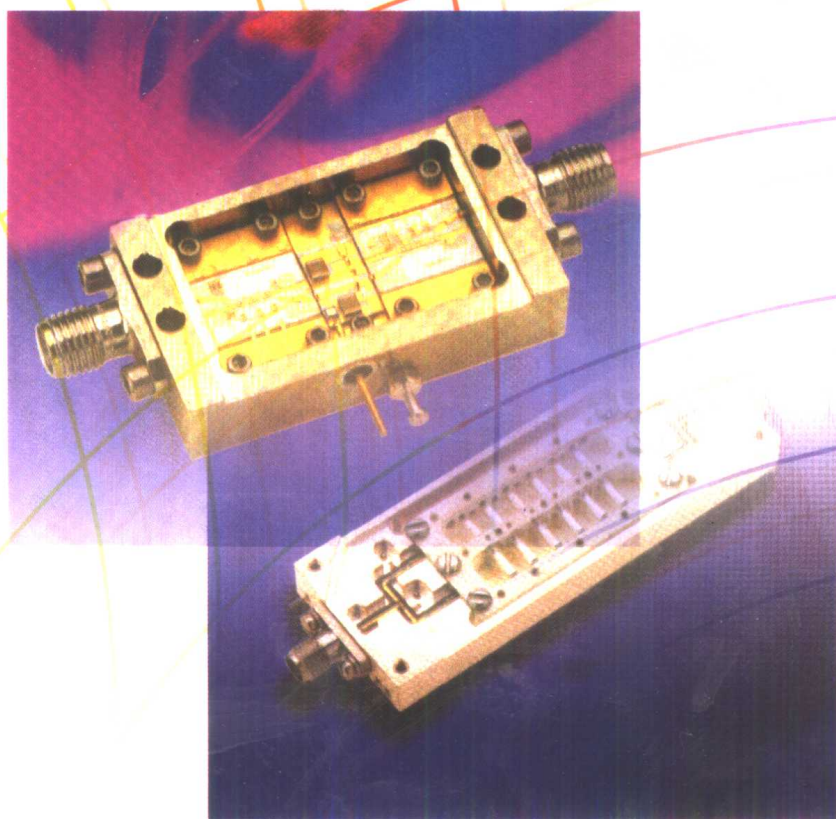
赫崇骏 韩永宁 袁乃昌 何建国 编著

# 微波电路

微波电路

微波电路

微波电路



国防科技大学出版社

# 微 波 电 路

赫崇骏 韩永宁 袁乃昌 何建国 编著

国 防 科 技 大 学 出 版 社  
· 长 沙 ·

## 图书在版编目(CIP)数据

微波电路/赫崇骏等编著. —长沙：国防科技大学出版社，1999. 8

ISBN 7-81024-572-4

I . 微… II . 赫… III . 微波电路 IV . TN710

中国版本图书馆 CIP 数据核字(1999)第 34710 号

## 内 容 简 介

本书包含了微波无源电路和微波有源电路。微波无源电路包括：网络参量、微波元件的网络参数、功分器、定向耦合器、电桥、滤波器、渐变线等。有源电路包括：肖特基势垒二极管及混频器、微波变容管及其电路、微波二极管振荡器、PIN 管、开关、相移器、衰减器、限幅器、微波放大器、微波电真空器件等。

该书由于内容多、面广、授课时间少，因此力求从物理概念加以说明，并尽量多举实例。本书主要作为微波、通讯、电子工程(雷达、电子对抗等)等专业学生的专业基础课教材。

国防科技大学出版社出版发行

电话：(0731)4555681 邮政编码：410073

E-mail:gfkdcbs@public.cs.hn.cn

责任编辑：黄八一 责任校对：黄 煌

新华书店总店北京发行所经销

国防科技大学印刷厂印装

\*

787×1092 1/16 印张：17.25 字数：399 千

1999 年 8 月第 1 版第 1 次印刷 印数：1—4000 册

\*

定价：21.00 元

## 前　　言

根据教学计划的要求,把过去的“微波网络”(70学时)和“微波电子线路”(70学时)两门课合并成一门,参考课时数为70学时。本书适用电子类微波通信、电子工程等专业,作为专业基础课教材。

本课程在学过“高频电子线路”、“微波技术基础”等课程的基础上,进一步学习微波无源和有源器件,以及由它们组成的微波电路。本书分成两大部分,第一篇为微波无源器件,主要包括微波网络、微波元件的等效参量、耦合器、滤波器、电桥、匹配电路等。第二篇主要包括混频器、控制器件、固体振荡器、微波晶体管放大器、微波电真空器件等。学过本课程后,应对雷达、通信、导弹、卫星、微波测量仪器中应用的微波发射机、接收机、微波控制电路的原理和使用方法有一个初步的了解。

由于课时数少,内容多,在深度和广度上又有一定要求,因此在取材以及具体内容阐述上力求简明扼要。目录中打\*的节可不讲,供学员自学参考。

本书第一章、第五章的一部分(混频、控制开关、相移器)由韩永宁编写,第二章、第三章、第七章以及第五章的一部分由赫崇骏编写,第四章、第八章由袁乃昌编写,第六章由何建国编写,全书由赫崇骏统稿,主审由毛钧杰同志担任。

编者

1999年5月

# 目 录

## 第一篇 微波无源电路

|                                       |      |
|---------------------------------------|------|
| <b>第一章 微波器件的网络参量</b> .....            | (2)  |
| § 1.1 等效电压、电流和阻抗.....                 | (2)  |
| 1.1.1 等效电压、电流.....                    | (2)  |
| 1.1.2 常用传输线的阻抗 .....                  | (3)  |
| 1.1.3 单端口网络的阻抗特性 .....                | (6)  |
| § 1.2 阻抗矩阵与导纳矩阵 .....                 | (7)  |
| 1.2.1 二端口网络的阻抗、导纳矩阵.....              | (7)  |
| 1.2.2 二端口网络的 $[Z]$ 、 $[Y]$ 矩阵性质 ..... | (9)  |
| 1.2.3 二端口网络的 $T$ 、 $\Pi$ 型等效 .....    | (11) |
| 1.2.4 矩阵 $[Z]$ 、 $[Y]$ 的归一化 .....     | (11) |
| 1.2.5 多端口网络的阻抗、导纳矩阵 .....             | (12) |
| § 1.3 网络的转移矩阵.....                    | (13) |
| 1.3.1 二端口网络的转移矩阵.....                 | (13) |
| 1.3.2 影像阻抗.....                       | (17) |
| 1.3.3 多端口网络的转移矩阵.....                 | (18) |
| § 1.4 散射矩阵.....                       | (19) |
| 1.4.1 散射参量 $S$ 的定义 .....              | (19) |
| 1.4.2 散射矩阵 $[S]$ 的性质 .....            | (22) |
| 1.4.3 参考面位移.....                      | (23) |
| 1.4.4* 电压散射矩阵 .....                   | (24) |
| 1.4.5 二端口网络 $[S]$ 矩阵与其他矩阵的转换 .....    | (25) |

|                           |      |
|---------------------------|------|
| § 1.5 传输矩阵.....           | (27) |
| § 1.6 二端口网络的工作特性.....     | (29) |
| 1.6.1 输入电压反射系数和驻波系数.....  | (29) |
| 1.6.2 网络衰减.....           | (29) |
| § 1.7 多端口网络的互联.....       | (30) |
| 1.7.1 采用转移矩阵的分析.....      | (30) |
| 1.7.2 采用散射矩阵、传输矩阵分析 ..... | (32) |
| 习题 .....                  | (36) |

## 第二章 微波网络元件及等效参量 .....

|                           |      |
|---------------------------|------|
| § 2.1 引言.....             | (41) |
| § 2.2 矩形波导的平面不连续性.....    | (42) |
| 2.2.1 膜片.....             | (42) |
| 2.2.2 谐振窗.....            | (44) |
| 2.2.3 销钉.....             | (46) |
| 2.2.4 波导阶梯.....           | (46) |
| § 2.3 矩形波导的弯曲和匹配拐角.....   | (47) |
| 2.3.1 矩形波导的弯曲.....        | (48) |
| 2.3.2 矩形波导拐角.....         | (49) |
| § 2.4 同轴线不连续.....         | (50) |
| 2.4.1 同轴线的电容间隙.....       | (50) |
| 2.4.2 同轴线阶梯.....          | (52) |
| 2.4.3 同轴线的串联与 T 型分支 ..... | (52) |
| 2.4.4 同轴高低阻抗线.....        | (53) |
| § 2.5 微带中的不连续性和补偿.....    | (54) |

|                              |       |      |
|------------------------------|-------|------|
| <b>第三章 功分器、定向耦合器和混合环</b>     | ..... | (58) |
| § 3.1 功分器、耦合器和混合接头的基本特性      | ..... | (58) |
| 3.1.1 三端口网络( <i>T</i> 型接头)   | ..... | (58) |
| 3.1.2 四端口网络(定向耦合器和混合接头)      | ..... | (60) |
| § 3.2 <i>T</i> 型接头和微带功分器     | ..... | (63) |
| 3.2.1 <i>T</i> 型接头功分器        | ..... | (63) |
| 3.2.2 微带功分器(Wilkinson 功分器)   | ..... | (65) |
| § 3.3 定向耦合器                  | ..... | (69) |
| 3.3.1 波导定向耦合器                | ..... | (69) |
| 3.3.2 分支线( $90^\circ$ )耦合器   | ..... | (73) |
| 3.3.3 耦合线定向耦合器               | ..... | (76) |
| § 3.4 $180^\circ$ 耦合环        | ..... | (81) |
| 3.4.1 $180^\circ$ 耦合环        | ..... | (81) |
| 3.4.2 波导魔 <i>T</i> 接头        | ..... | (85) |
| § 3.5 平衡—不平衡转换(巴伦)           | ..... | (85) |
| 习题                           | ..... | (87) |
| <b>第四章 微波滤波器和匹配电路</b>        | ..... | (89) |
| § 4.1 引言                     | ..... | (89) |
| § 4.2 最大平坦和切比雪夫滤波器的衰减特性      | ..... | (90) |
| § 4.3 低通原型滤波器中电路参数的定义        | ..... | (92) |
| § 4.4 最大平坦和切比雪夫原型滤波器归一化元件值计算 | ..... | (93) |
| § 4.5 只有一种电抗元件的滤波器原型         | ..... | (95) |

|   |       |
|---|-------|
| 4.5.1 用 $K$ 、 $J$ 变换使 $LC$ 滤波器原型转换成只有一种电抗元件的滤波器原型 | (95)  |
| 4.5.2 $K$ 和 $J$ 变换器及其等效电路                         | (97)  |
| § 4.6 低通、带通或高通滤波器原型中有耗元件的影响                       | (101) |
| § 4.7 低通到带通的变换                                    | (101) |
| § 4.8 微波低通滤波器的实现                                  | (102) |
| § 4.9 微波带通滤波器                                     | (106) |
| § 4.10 电感膜片耦合的波导滤波器                               | (114) |
| 4.10.1 电感膜片耦合波导带通滤波器的设计公式                         | (114) |
| 4.10.2 电感膜片耦合波导带通滤波器的设计举例                         | (115) |
| § 4.11 微带匹配电路—指数渐变法                               | (119) |
| § 4.12 微带匹配电路—四分之一波长多节变阻器                         | (122) |
| 习题  | (128) |

## 第二篇 微波有源电路

|                       |       |
|-----------------------|-------|
| 第五章 微波二极管器件及电路        | (130) |
| § 5.1 微波混频器           | (130) |
| 5.1.1 混频器的作用及技术指标     | (130) |
| 5.1.2 混频二极管及混频器基本分析方法 | (131) |
| 5.1.3 单端、单平衡混频器       | (143) |
| § 5.2 微波二极管振荡器        | (149) |
| 5.2.1 甘氏二极管产生负阻及其工作原理 | (150) |
| 5.2.2 瞬的形成与甘氏效应       | (152) |
| 5.2.3 负阻放大器的增益        | (153) |

|        |                            |       |
|--------|----------------------------|-------|
| 5.2.4  | 负阻放大器增益带宽乘积 .....          | (153) |
| 5.2.5  | 由同轴腔和波导腔构成的甘氏振荡器 .....     | (154) |
| § 5.3  | 微波控制器件 .....               | (156) |
| 5.3.1  | PIN 管 .....                | (156) |
| 5.3.2  | 微波开关 .....                 | (159) |
| 5.3.3  | 微波移相器 .....                | (168) |
| 5.3.4  | 微波衰减器及限幅器 .....            | (174) |
| § 5.4  | 微波变容管及其构成器件 .....          | (177) |
| 5.4.1  | 微波变容二极管及其工作原理 .....        | (177) |
| 5.4.2  | 结电容的非线性特点 .....            | (178) |
| 5.4.3  | 变容管在微波电路中的应用 .....         | (179) |
| § 5.5* | 非线性电容中的能量关系, 门雷—罗威公式 ..... | (182) |
| 5.5.1  | 门雷—罗威公式 .....              | (183) |
| 5.5.2  | 门雷—罗威公式几个具体应用 .....        | (184) |
| 习题     | .....                      | (185) |

## 第六章 微波场效应器件 ..... (187)

|       |                      |       |
|-------|----------------------|-------|
| § 6.1 | 引言 .....             | (187) |
| § 6.2 | 微波场效应三极管的特性 .....    | (187) |
| 6.2.1 | 微波场效应三极管的结构 .....    | (187) |
| 6.2.2 | 微波场效应三极管的特性 .....    | (188) |
| § 6.3 | 微波晶体管放大器的基本特性 .....  | (191) |
| 6.3.1 | 微波晶体管放大器的噪声系数 .....  | (191) |
| 6.3.2 | 微波晶体管放大器的功率增益 .....  | (193) |
| 6.3.3 | 微波晶体管放大器的稳定性 .....   | (196) |
| § 6.4 | 小信号微波晶体管放大器的设计 ..... | (200) |
| 6.4.1 | 设计概要 .....           | (200) |
| 6.4.2 | 微波低噪声放大器的设计举例 .....  | (201) |

|        |                     |       |
|--------|---------------------|-------|
| § 6.5* | 微波晶体管放大器的计算机辅助设计    | (205) |
| 6.5.1  | 微波晶体管放大器机辅设计概要      | (205) |
| 6.5.2  | 宽频带晶体管放大器设计的基本原理和步骤 | (206) |
| 6.5.3  | 计算机辅助分析方法的选择及拓扑结构   | (207) |
| § 6.6* | 微波场效应管构成的其他微波器件     | (211) |
| 6.6.1  | 微波场效应管混频器           | (211) |
| 6.6.2  | 微波场效应管振荡器           | (212) |
| 6.6.3  | 微波场效应管开关            | (216) |
| 6.6.4  | 微波场效应管移相器           | (217) |
| 习题     |                     | (218) |

## 第七章 微波电真空器件 (219)

|       |                      |       |
|-------|----------------------|-------|
| § 7.1 | 引言                   | (219) |
| § 7.2 | 微波电子学的基本概念           | (219) |
| 7.2.1 | 在静电场和恒定磁场中的电子运动      | (219) |
| 7.2.2 | 电子在静态正交电磁场中的运动       | (221) |
| 7.2.3 | 在平板电极间静态正交电磁场条件下电子运动 | (222) |
| 7.2.4 | 电子流的速度调制             | (223) |
| § 7.3 | 速调管放大器与振荡器           | (226) |
| 7.3.1 | 速调管放大器的基本结构          | (226) |
| 7.3.2 | 速调管放大器的工作原理          | (227) |
| 7.3.3 | 反射速调管振荡器             | (228) |
| § 7.4 | 行波管放大器               | (230) |
| 7.4.1 | 行波管放大器的结构            | (231) |
| 7.4.2 | 行波管放大器的工作原理          | (233) |
| 7.4.3 | 行波管放大器的工作特性          | (234) |
| § 7.5 | 多腔磁控管振荡器             | (236) |
| 7.5.1 | 多腔磁控管的结构             | (236) |
| 7.5.2 | 多腔磁控管的谐振频率和振荡模式      | (238) |

|                                |              |
|--------------------------------|--------------|
| 7. 5. 3 多腔磁控管的工作原理与同步条件 .....  | (241)        |
| 7. 5. 4* 多腔磁控管的工作特性和负载特性 ..... | (244)        |
| 7. 5. 5* 磁控管的使用和维护 .....       | (248)        |
| <b>习题</b> .....                | <b>(250)</b> |

## **第八章 微波系统简介 ..... (251)**

|                              |              |
|------------------------------|--------------|
| <b>§ 8. 1 雷达中的微波系统 .....</b> | <b>(251)</b> |
| 8. 1. 1 雷达方程 .....           | (251)        |
| 8. 1. 2 脉冲雷达 .....           | (253)        |
| 8. 1. 3 多普勒(Doppler)雷达 ..... | (254)        |
| 8. 1. 4 相控阵雷达的组成及主要指标 .....  | (255)        |
| <b>§ 8. 2 微波收信系统 .....</b>   | <b>(256)</b> |
| 8. 2. 1 收信设备的组成 .....        | (257)        |
| 8. 2. 2 收信设备的主要性能指标 .....    | (258)        |
| <b>§ 8. 3 微波发信设备 .....</b>   | <b>(260)</b> |

# 第一篇 微波无源电路

如果以是否有半导体器件或电真空器件来划分,那么微波电路大体上可以分为无源电路和有源电路两大类。其中,微波无源电路是基础,它们可以单独使用,以提供诸如射频短路、开路、耦合、滤波、阻抗变换以及功率的合成、分配等功能;也可以与半导体器件、电真空器件结合,构成有源电路,以提供更复杂的功能。

本篇包括第一、二、三、四章,主要讨论微波无源电路,即微波网络的基本知识,在此基础上分析研究一些主要的无源电路。通过学习要求熟练掌握各类网络参量及其参量矩阵,熟悉常用的微波无源电路,了解网络分析和网络综合的方法。

# 第一章 微波器件的网络参量

各种微波电路都由一个个具体部件组合而成,它们的电路、结构、使用的材料各有不同,但是为了分析、研究电路的特性,必须加以抽象,将不同的电路部件或电路整体等效成“微波网络”。对于这些网络,人们主要关心的是其外特性。

微波网络通过一对或几对相同或不同的传输线与外界联接,其联接端称为“端口”,在传输线上端口所在的位置,与能流方向垂直的横截面通常称为“参考面”。这些参考面界定了微波网络的范围。当我们说某一微波网络已经确定时,就意味着该网络代表的电路及各端口所在位置均已确定,该网络必有确定的特性。这些特性可以用各种网络参量及相应的参量矩阵来描述。常用的网络参量矩阵有阻抗、导纳、转移、散射和传输矩阵。前三种参量矩阵基于电路的等效电流、电压概念,可以称为电路矩阵。下面首先对网络的等效电流、电压加以讨论,而后引出各种网络参量,掌握网络的参量矩阵分析法是研究微波网络的基础。

## § 1.1 等效电压、电流和阻抗

### 1.1.1 等效电压、电流

对于确定的微波网络,在给定各端口的端接条件之后,受麦克斯韦方程及边界条件的约束,网络内部和各端口上的电磁场结构,以及电场、磁场之间的关系应该是确定的、唯一的。对于传输线而言,线上各种特定的电磁场结构称为“模式”。一条传输线上的电磁场可以只有一种模式,也可以同时并存有几种模式。可以证明,在无耗条件下,各个模式的电磁场彼此独立、互不影响,即所谓相互“正交”。

我们知道,在传输线上沿线的功率密度,即单位截面的功率流就是坡印亭矢量。电场、磁场矢量与由它们构成的坡印亭矢量三者之间相互垂直,沿线(纵向)的功率流可由横截面电场、磁场求得。设沿线传输的平均功率为  $\bar{P}$ ,线上横向电场、磁场分别为  $E_t, H_t$ , 传输线横截面为  $s$ , 根据坡印亭定理,有

$$\bar{P} = \frac{1}{2} \operatorname{Re} \int_s E_t \times H_t^* \cdot i_z ds \quad (1.1.1)$$

其中  $i_z$  为传输线能流方向的单位矢量。

用网络的概念来分析微波电路,必须把均匀的微波传输线等效成“平行双线”。对于多

模并存的一条传输线(及相应端口)则应等效为多对平行双线(及多个端口),每对平行双线对应其中一种模式的传输。

在平行双线分析中,我们应用传统的电压、电流概念。等效的平行双线的某一位置(即参考面)上,两线之间的电压应与原微波传输线上的横向电场  $E_t$  成正比,而电流则与原传输线上的横向磁场  $H_t$  成正比。仿照电路理论,沿线功率流仍可表示为

$$\bar{P} = \frac{1}{2} \operatorname{Re}(VI^*) \quad (1.1.2)$$

其中  $V, I$  称为平行双线上的等效电压、电流。

显然,一条多模并存的传输线,沿线的功率流应为等效的多对平行双线上的功率流的总和。

### 1.1.2 常用传输线的阻抗

在电磁场理论讨论中我们已经知道均匀介质空间有“波阻抗”的概念。微波传输线中当然也有其波阻抗,它定义为行波状态下微波传输线中横向电场、磁场之比,而电、磁场结构与模式有关,不同模式有不同的横向电、磁场关系,对于 TEM 波,波阻抗为:

$$\eta_{\text{TEM}} = E_t / H_t = \sqrt{\frac{\mu}{\epsilon}} = \eta_0$$

$\eta_0$  是均匀介质空间中的波阻抗,  $\mu, \epsilon$  分别为介质的导磁率、介电常数。在真空中  $\eta_0 = 377\Omega$ 。

对于 TE、TM 波可分别导出波阻抗为

$$\eta_{\text{TE}} = \eta_0 \cdot \frac{\lambda_g}{\lambda_0} \quad \eta_{\text{TM}} = \eta_0 \cdot \frac{\lambda_0}{\lambda_g}$$

其中  $\lambda_0, \lambda_g$  分别为均匀介质空间中的波长及传输线中的导波长。

从以上波阻抗的三个表示式可看出,传输线的波阻抗与线中的充填介质以及电磁场的模式有关。

除了波阻抗之外,对于等效平行双线,我们还要引入“特性阻抗”的概念。

对于 TEM 模传输线,使用“特性阻抗”是方便的,因为线上存在着确定的电压、电流,如图 1.1.1,平行双线上的电压为:

$$V = \int_a^b \mathbf{E} \cdot d\mathbf{l}$$

积分路径位于参考面  $T$  处。而沿线的电流则为

$$I = \oint \mathbf{H} \cdot d\mathbf{l}$$

积分路径为参考面  $T$  处环绕其中一根导线的闭合环线。

当 TEM 模传输线处于行波状态时,线上的电压、电流之比为该线的特性阻抗:

$$Z_C = V/I$$

因此线上传输的功率为:

$$\bar{P} = \frac{1}{2} \operatorname{Re}VI^* = \frac{1}{2} |I|^2 Z_C = \frac{1}{2} \frac{|V|^2}{Z_C}$$

不同的传输线有不同的特性阻抗。在工作中常用的传输线有同轴线、带状线、微带线和矩形波导等。

对于以 TEM 模作为主模工作的同轴线，根据其场方程可以很容易求得特性阻抗为

$$Z_C = \frac{60}{\sqrt{\epsilon_r}} \ln b/a \quad (\Omega)$$

其中  $b$  为外导体的内径， $a$  为内导体的外径。

与同轴线相比，图 1.1.2 所示带状线中的电磁场结构比较复杂，在带状线中心导体的边缘上有不均匀场，计算比较麻烦。但对于工作在 TEM 模的零厚度宽条带状线 ( $W \gg b, t \rightarrow 0$ )，其特性阻抗近似为

$$Z_C = \frac{30\pi}{\sqrt{\epsilon_r}} \ln \left( \frac{1 + \frac{W}{b}}{\frac{W}{b} + \frac{t}{b}} \right) \quad (\Omega)$$

在图 1.1.3 所示的微带线中，因为有两层不同的介质，电磁场结构更加复杂，其传输的主模不是 TEM 模。当工作频率较低时，可近似看作 TEM 模，称为准“TEM”模。其特性阻抗常以数据表格或曲线图（如图 1.1.4）给出。

带线、微带线的特性阻抗可以藉助于保角变换等方法计算。

在矩形波导中 TEM 模不能存在，如图 1.1.5，其最低模式（主模）为 TE<sub>10</sub> 模。对于 TE 模，我们在前面已写出其波阻抗，TE<sub>10</sub> 模波阻抗为

$$\eta_{H10} = \eta_0 \cdot \frac{\lambda_{g(H10)}}{\lambda_0}$$

我们知道上式中的波导波长  $\lambda_{g(H10)}$  仅反映了波导横截面尺寸中宽边  $a$  的影响，未涉及窄边  $b$ 。也即具有相同宽边，不同窄边尺寸的波导，其波阻抗  $\eta_{H10}$  相同。但是事实上这样两段波导在联接时是会有反射的，因此仅有波阻抗的概念不能充分反映不同尺寸的波导特性，还应该寻找另一种阻抗表示法。

TE<sub>10</sub> 模横截面上的横向电、磁场的振幅沿波导的宽边作正弦分布：

$$\begin{cases} E_t = E_y = E_m \sin \frac{\pi x}{a} \\ H_t = H_x = \frac{E_m}{\eta_{H10}} \sin \frac{\pi x}{a} \end{cases}$$

其中  $\eta_{H10}$  为 TE<sub>10</sub> 模的波阻抗。将波导等效为平行双线，沿线的纵向电流可由横向磁场  $H_t$  求取，其幅度为：

$$I = \int_0^a H_t \cdot dl = \frac{2a \cdot E_m}{\pi \eta_{H10}}$$

等效双线上的“电压”原则上可由横向电场  $E_t$  积分求取。通常取波导宽壁中央作为积

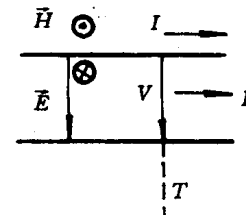


图 1.1.1 平行双线上的电压、电流

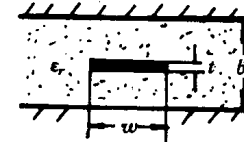


图 1.1.2 带状线结构

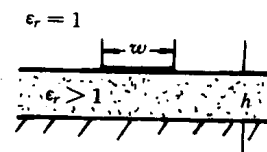


图 1.1.3 微带线结构

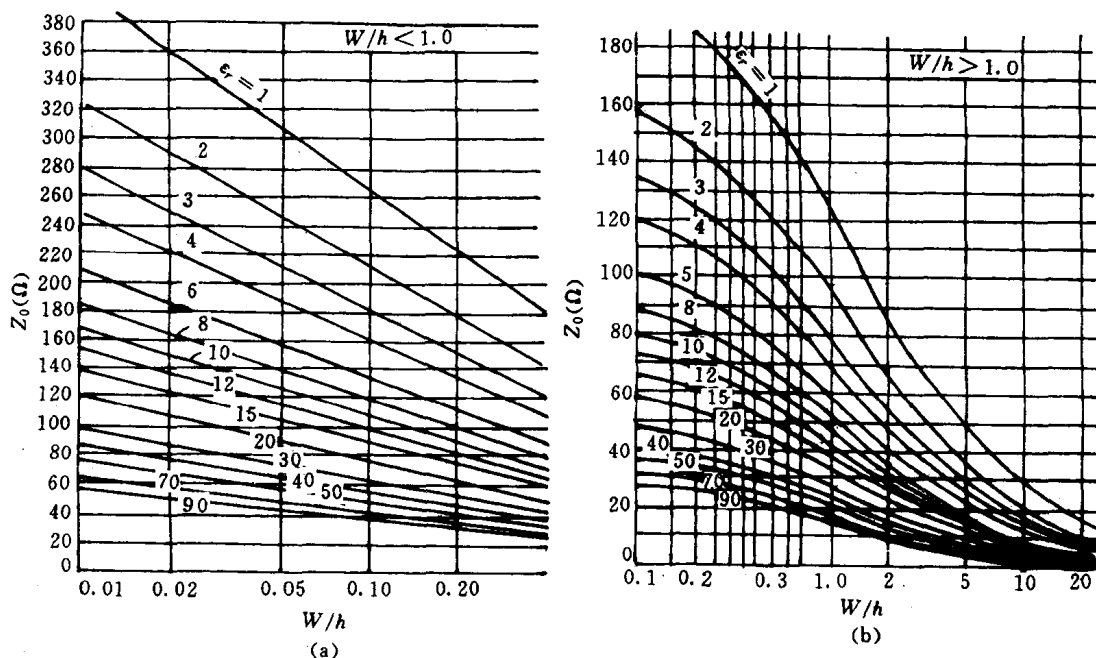


图 1.1.4 微带线特性阻抗(零厚度  $t = 0$ )

分路径,因此等效电压的振幅为:

$$V = E_m \cdot b$$

由此电压和电流求得等效平行双线的特性阻抗为:

$$Z_{C(V,I)} = V/I = \frac{\pi}{2} \cdot \frac{b}{a} \eta_{H10}$$

但是,如果由坡印亭定理求波导的平均传输功率,即:

$$\bar{P} = \frac{\text{Re}}{2} \int_s \mathbf{E}_t^* \times \mathbf{H}_t^* i_z ds = \frac{1}{4} \frac{abE_m^2}{\eta_{H10}}$$

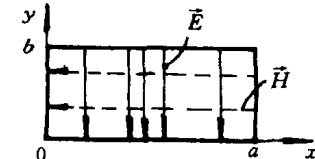


图 1.1.5 矩形波导中的  $\text{TE}_{10}$  模  
电磁场

再由该功率和前述的电流也可以导出等效平行双线的

特性阻抗:

$$Z_{C(P,I)} = 2\bar{P}/I^2 = \frac{\pi^2}{8} \cdot \frac{a}{b} \eta_{H10}$$

此外,如果取前述的电压值及平均功率值,又可求出另一特性阻抗:

$$Z_{C(P,V)} = V^2/2\bar{P} = 2 \cdot \frac{a}{b} \eta_{H10}$$

按三种不同的方法,竟求出了三个大小不同的特性阻抗值。这些阻抗表示式都反映出了波导横截面的二维尺寸、工作频率、介质参数,三个阻抗式之间仅相差一个系数。在研究、比较波导的特性时,不论采用上述哪个定义式,只要前后统一,使用同一种定义均可充分反映不同的波导之间阻抗特性的不同。因此上述三个定义式在使用中可以简化,舍去其系数,只取共同的部分作为波导的“等效阻抗”:

$$Z_e = \frac{a}{b} \eta_{H10}$$

### 1.1.3 单端口网络的阻抗特性

在外界电磁场的激励下,微波网络内部必然相应建立起一定结构的电磁场。通过网络的界面  $S$ ,从外界进入到网络体积  $V$  之内的复数功率,将转化为网络内电磁场储能的变化以及内部的功耗。如果忽略介质的极化损耗,依据坡印亭定理可得:

$$\begin{aligned} -\frac{1}{2} \oint_S E \times H^* \cdot ds &= j \frac{\omega}{2} \int_V (\mu |H|^2 - \epsilon |E|^2) + \frac{1}{2} \int_V \sigma |E|^2 dV \\ &= j2\omega(W_H - W_E) + \bar{P} \end{aligned}$$

其中,  $E, H$  皆为复数振幅,  $W_E, W_H$  分别为体积内的电场、磁场储能,  $\bar{P}$  为体积内的实际功耗平均值,  $\omega$  为工作角频率, 面元  $ds$  的正向指向闭曲面外侧。

等式右边第一项代表了体积内电磁场储能的变化率,第二项代表体积内因传导电流而造成的功耗。

对于实际微波网络来说,与外界的耦合是通过各个端口实现的,故等式左边应化为对于各端口参考面上横向电、磁场  $E_{ik}, H_{ik}$  的运算。由于各端口所在的微波传输线等效为平行双线,因此又可进一步化为对各端口等效双线上电压、电流的运算,即:

$$\frac{1}{2} \sum_k \int_k E_{ik} \times H_{ik}^* \cdot ds = \frac{1}{2} \sum_k V_k I_k^* = \frac{1}{2} [V]^T [I]^*$$

其中  $E_{ik}, H_{ik}$  为第  $k$  端口传输线的横向电、磁场的复振幅,  $V_k, I_k$  则为第  $k$  端口等效平行双线上的电压、电流的复振幅,  $[V], [I]$  分别为网络端口电压、电流列矩阵。

故有:

$$\frac{1}{2} [V]^T [I]^* = j2\omega(W_H - W_E) + \bar{P}$$

对于单端口网络,等式左边简化为  $\frac{1}{2} VI^*$ 。平行双线传输的复功率为

$$\frac{1}{2} VI^* = \frac{1}{2} Z_{in} |I|^2 = \frac{1}{2} Y_{in}^* |V|^2$$

因此,单端口网络的输入阻抗、输入导纳为:

$$Z_{in} = \frac{4j\omega(W_H - W_E) + 2\bar{P}}{|I|^2} = R + jX$$

$$Y_{in} = \frac{4j\omega(W_E - W_H) + 2\bar{P}}{|V|^2} = G + jB$$

由这两个表示式可以得出以下几点认识:

1) 由于网络总有一定的损耗,即  $\bar{P} > 0$ ,故无源网络中必有  $R > 0, G > 0$ 。

2) 若网络中以磁场储能为主,  $W_H > W_E$ ,则必有  $jX > 0$ ,网络呈感性;反之,当电场储能为主,  $W_E > W_H$  时,则必有  $jB > 0$ ,网络呈容性。当  $W_H = W_E$  时,网络谐振,呈纯阻性。

3) 网络输入阻抗、导纳皆为频率的奇函数,有  $Z^*(-\omega) = Z(\omega), Y^*(-\omega) = Y(\omega)$ 。

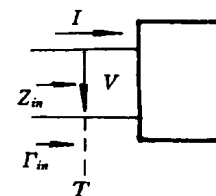


图 1.1.6 单端口网络